

УДК 539.37

**ОПРЕДЕЛЕНИЕ НАПРЯЖЕННО-ДЕФОРМИРОВАННОГО СОСТОЯНИЯ  
МАССИВА ПОРОД ВОКРУГ ВЫРАБОТКИ ПРОИЗВОЛЬНОГО СЕЧЕНИЯ  
ПО ДАННЫМ ИЗМЕРЕНИЙ СМЕЩЕНИЙ НА ЕЕ ПОВЕРХНОСТИ**

**А. И. Чанышев<sup>1,2</sup>, И. М. Абдулин<sup>1</sup>**

<sup>1</sup>Институт горного дела им. Н. А. Чинакала СО РАН,  
Красный проспект, 54, 630091, г. Новосибирск, Россия  
<sup>2</sup>Новосибирский государственный университет  
ул. Пирогова, 2, 630090, г. Новосибирск, Россия

Напряженно-деформированное состояние (НДС) вокруг выработок определяется по значениям напряжений на “бесконечности”, т. е. требуется знание распределения напряжений в нетронутом массиве пород. Для выработки с произвольной геометрией сечения контура предлагается другой способ определения НДС, основанный на непосредственном измерении перемещений ее контура. Способ предполагает применение формул Колосова–Мухелишвили. Рассмотрены выработки, имеющие формы кругового и эллиптического цилиндров.

*Напряжения, деформации, смещения, измерение смещений, потенциалы Колосова–Мухелишвили*

В механике деформируемого твердого тела вообще и в механике горных пород в частности сложилась такая ситуация, когда основными являются 1, 2, 3-я краевые задачи. Если рассмотреть 2-ю краевую задачу, то здесь на всем контуре исследуемой области задаются только смещения (т. е. некоторая векторная функция), в 1-й краевой задаче задается вектор усилий — вектор Коши (т. е. производная по нормали от некоторой векторной функции, выражающей смещения). В 3-й краевой задаче на одной части границы тела задается сама функция, а на другой — производная по нормали.

Эти краевые задачи связаны с именами Дирихле, Неймана, Робена. Для них доказаны теоремы существования и в определенном смысле единственности решения. Следует отметить некоторые неудобства этих классических постановок. Во-первых, чтобы решать задачу, необходимо предварительно полностью указать геометрию всей области, возможные полости, трещины, включения в ней. Во-вторых, на всех границах, включая бесконечно удаленные точки, должны быть определены граничные условия.

Однако в горном деле это не всегда удается сделать. По существу, более близкой для геомеханики является следующая задача: дан какой-то один контур, на котором известен вектор напряжений Коши и, кроме того, на этом же контуре известен вектор перемещений. Задача состоит в том, чтобы, зная свойства среды, определить наличие возможных дефектов в самой среде, их расположение, геометрию, найти распределение напряжений, деформаций, смещений среды вне контура, в том числе условия нагружения массива пород на “бесконечности” и на самих дефектах.

Как пример решения, рассмотрена задача о выработке с произвольной геометрией контура, на котором задаются переопределенные с точки зрения классики условия [1 – 6].

### ПОСТАНОВКА ЗАДАЧИ

Пусть имеется протяженная цилиндрическая выработка, поперечное сечение которой имеет вид, показанный на рис. 1а. Предполагается, что контур выработки нагружен нормальным давлением  $\sigma_n$  и касательным напряжением  $\tau_n$ . Кроме того, на контуре сечения заданы еще смещения. На произвольном контуре  $L$  (рис. 1а) горизонтальную и вертикальную составляющие вектора перемещений будем считать заданными функциями полярного угла  $\theta$ :

$$u_x = u_x(\theta), \quad u_y = u_y(\theta). \quad (1)$$

Считаем также известными константы упругости массива пород: модуль упругости  $E$  и коэффициент Пуассона  $\nu$ . Задача заключается в том, чтобы по этим данным найти распределение напряжений, деформаций, смещений как на самом контуре выработки, так и за его пределами.

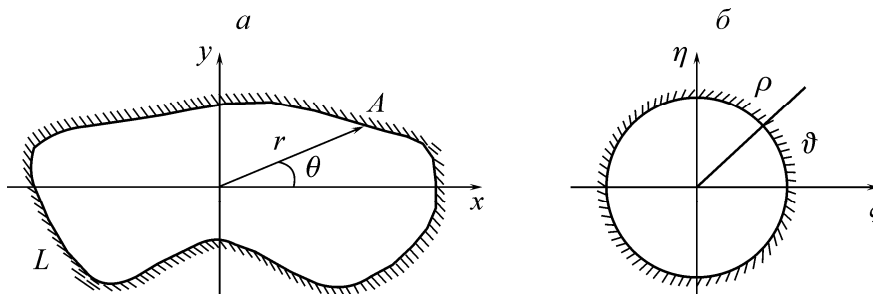


Рис. 1. Сечение выработки произвольной конфигурации (а) с контуром  $L$  и область деформирования (б) в комплексной плоскости  $\xi$

Для решения задачи воспользуемся конформным отображением исходной области (рис. 1а) на внешность единичной окружности, изображенной на рис. 1б.

Далее используем формулы Колосова – Мусхелишвили [7]:

$$\sigma_x + \sigma_y = 4 \operatorname{Re} \Phi(z), \quad (2)$$

$$\sigma_y - \sigma_x + 2i\tau_{xy} = 2[\bar{z}\Phi'(z) + \Psi(z)], \quad (3)$$

$$2\mu(u_x + iu_y) = \aleph \varphi(z) - \overline{z\varphi'(z)} - \overline{\psi(z)}, \quad (4)$$

где

$$\varphi(z) = \int \Phi(z) dz, \quad \psi(z) = \int \Psi(z) dz, \quad (5)$$

$\Phi(z)$ ,  $\Psi(z)$  — комплексные потенциалы;  $z = x + iy$ ,  $i$  — мнимая единица;  $2\mu$  — модуль сдвига;  $\aleph = 3 - 4\nu$ ,  $\nu$  — коэффициент Пуассона.

Отметим, что (2) выражает общее решение условия совместности напряжений ( $\Delta\sigma = 0$ , где  $\Delta$  — лапласиан;  $\sigma$  — среднее значение), (3) — общее решение системы дифференциальных уравнений равновесия [8], (4) — связано с учетом закона Гука.

Пусть отображающая функция имеет вид

$$z = w(\xi), \quad (6)$$

где  $w$  — заданная комплексная функция.

Задача состоит в определении потенциалов  $\Phi(z)$ ,  $\Psi(z)$  по заданным на границе сечения  $r=r(\theta)$  граничным значениям функций  $\sigma_n(r, \theta)$ ,  $\tau_n(r, \theta)$ ,  $u_x(r, \theta)$ ,  $u_y(r, \theta)$ .

### РЕШЕНИЕ ЗАДАЧИ

Для решения задачи требуется связь между углом, образуемым нормалью к контуру сечения выработки (рис. 2а), и отображающей функцией. Установим ее, исходя из рис. 2б.

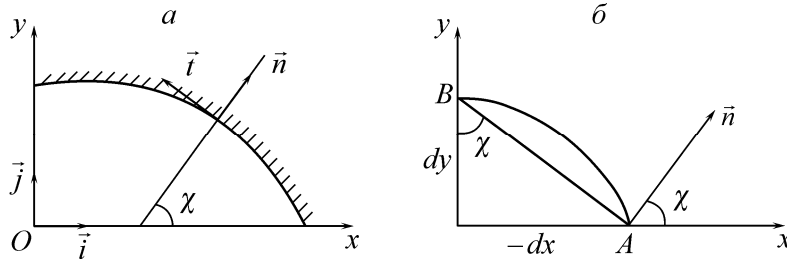


Рис. 2. Нормаль, образующая с осью  $Ox$  угол  $\chi$ , и касательная  $\vec{t}$  к контуру сечения выработки (а); параметры кривой  $dx$ ,  $dy$  и нормаль  $\vec{n}$  к ней (б)

При переходе из точки  $A$  в точку  $B$  ордината получает приращение  $dy$ , абсцисса —  $dx$ . В этом случае  $\cos \chi = dy/ds$ ,  $\sin \chi = -dx/ds$ ,  $ds = \sqrt{(dx)^2 + (dy)^2}$ .

Из рис. 2б находим

$$e^{2i\chi} = \cos 2\chi + i \sin 2\chi = \frac{(dy)^2 - (dx)^2 - 2i(dx)(dy)}{ds^2} = -\frac{(dx + idy)^2}{dzd\bar{z}} = -\frac{dz}{d\bar{z}} = -\frac{w'(\xi)d\xi}{w'(\xi)d\bar{\xi}}. \quad (7)$$

Далее, учитывая, что

$$\sigma_t - \sigma_n + 2i\tau_{nt} = (\sigma_y - \sigma_x + 2i\tau_{xy})e^{2i\chi} = \sigma_g - \sigma_\rho + 2i\tau_{\rho g}, \quad \sigma_t + \sigma_n = \sigma_x + \sigma_y = \sigma_g + \sigma_\rho, \quad (8)$$

имеем

$$2(\sigma_\rho - i\tau_{\rho g}) = \sigma_x + \sigma_y - (\sigma_y - \sigma_x + 2i\tau_{xy})e^{2i\chi}.$$

Используя (2), (3), (6), (7), получаем

$$\sigma_\rho + i\tau_{\rho g} = \Phi(\xi) + \overline{\Phi(\xi)} + \left[ w(\xi) \frac{\overline{\Phi'(\xi)}}{w'(\xi)} + \overline{\Psi(\xi)} \right] \frac{\overline{w'(\xi)d\xi}}{w'(\xi)d\bar{\xi}}. \quad (9)$$

Рассмотрим теперь контур единичной окружности на рис. 1б. Свяжем полярный угол  $\theta$  в плоскости  $z$  с полярным углом  $\vartheta$  в плоскости  $\xi$ . Имеем  $e^{i\theta} = \sqrt{z/\bar{z}}$ . С учетом (6) находим

$$\theta = \frac{1}{2i} \ln \frac{w(\xi)}{\overline{w(\xi)}} = \frac{1}{2i} \ln \frac{w(\sigma)}{\overline{w\left(\frac{1}{\sigma}\right)}} = \frac{1}{2i} \ln \frac{w(e^{i\vartheta})}{\overline{w(e^{-i\vartheta})}}, \quad (10)$$

где  $\sigma$  — обозначение переменной  $\xi$  при  $\xi\bar{\xi} = 1$ .

Обратимся теперь к формуле (4). Здесь смещения  $u_x$ ,  $u_y$  на контуре выработки есть функции полярного угла  $\theta$  или в силу (10) — полярного угла  $\vartheta$ . Продифференцируем (4) по углу  $\vartheta$ . Имея в виду, что

$$\sigma = e^{i\vartheta}, \quad d\sigma = ie^{i\vartheta} d\vartheta,$$

получаем

$$\frac{2\mu(u_x + iu_y)'_{\vartheta}}{i\sigma} = \Re \varphi'(\sigma) - w'(\sigma) \overline{\Phi(\sigma)} + \left[ w(\sigma) \overline{\Phi' \left( \frac{1}{\sigma} \right)} + \overline{\Psi \left( \frac{1}{\sigma} \right)} \overline{w' \left( \frac{1}{\sigma} \right)} \right] \frac{1}{\sigma^2}. \quad (11)$$

Запишем теперь (9) на контуре выработки. При этом учтем, что

$$d\bar{\sigma} = d\left(\frac{1}{\sigma}\right) = -\frac{1}{\sigma^2}d\sigma, \quad (12)$$

тогда

$$\sigma_\rho + i\tau_{\rho g} = \Phi(\sigma) + \bar{\Phi}\left(\frac{1}{\sigma}\right) + \left[ w(\sigma)\bar{\Phi}'\left(\frac{1}{\sigma}\right) + \bar{\Psi}\left(\frac{1}{\sigma}\right)\bar{w}'\left(\frac{1}{\sigma}\right) \right] \frac{1}{w'(\sigma)} \left(-\frac{1}{\sigma^2}\right). \quad (13)$$

Складывая (13), (11) (последнее поделим на  $w'(\sigma)$ ), имеем уравнение для определения потенциала  $\Phi(\sigma)$  (или  $\Phi(\xi)$ , или  $\Phi(z)$ ) в виде

$$(1 + \aleph)\Phi(\sigma) = \sigma_\rho + i\tau_{\rho g} - \frac{2\mu i}{\sigma w'(\sigma)}(u_x + iu_y)'_g$$

или

$$\Phi(\sigma) = \frac{1}{1 + \aleph} \left[ \sigma_\rho + i\tau_{\rho g} - \frac{2\mu i}{\sigma w'(\sigma)}(u_x + iu_y)'_g \right]. \quad (14)$$

Отметим, что на основании (8)

$$\sigma_\rho + i\tau_{\rho g} = \sigma_n + i\tau_{nl},$$

где  $\sigma_n$ ,  $\tau_{nl}$  — заданные нагрузки на контуре сечения выработки. Это означает, что справа в (14) стоит известная функция  $\sigma$ . Заменяя здесь  $\sigma$  на  $\xi$ , получаем  $\Phi(\xi)$ ; заменяя  $\xi$  на  $z$  через отображение (6), получаем  $\Phi(z)$ .

После того как определена функция  $\Phi(\sigma)$ , требуется восстановить функцию  $\Psi(\sigma)$ . Если воспользоваться (9), то

$$\sigma_\rho - i\tau_{\rho g} = \Phi(\sigma) + \bar{\Phi}\left(\frac{1}{\sigma}\right) + \left[ \overline{w(\sigma)} \frac{\Phi'(\sigma)}{w'(\sigma)} + \Psi(\sigma) \right] \frac{w'(\sigma)}{\bar{w}'\left(\frac{1}{\sigma}\right) \left(-\frac{1}{\sigma^2}\right)}.$$

Решая это уравнение относительно  $\Psi(\sigma)$ , получаем

$$\Psi(\sigma) = \left\{ \Phi(\sigma) + \bar{\Phi}\left(\frac{1}{\sigma}\right) - \sigma_\rho + i\tau_{\rho g} \right\} \frac{\bar{w}'\left(\frac{1}{\sigma}\right)}{\sigma^2 w'(\sigma)} - \frac{\bar{w}\left(\frac{1}{\sigma}\right) \Phi'(\sigma)}{w'(\sigma)}.$$

Здесь  $\Psi(\sigma)$  — функция одного аргумента, комплексного числа  $\sigma$ . Заменяя в этом выражении  $\sigma$  на  $\xi$ , находим искомую функцию  $\Psi(\xi)$ :

$$\Psi(\xi) = \left\{ \Phi(\xi) + \bar{\Phi}\left(\frac{1}{\xi}\right) - \sigma_\rho + i\tau_{\rho g} \right\}_{\sigma=\xi} \frac{\bar{w}'\left(\frac{1}{\xi}\right)}{\xi^2 w'(\xi)} - \frac{\bar{w}\left(\frac{1}{\xi}\right) \Phi'(\xi)}{w'(\xi)}. \quad (15)$$

Заменяя в (15)  $\xi$  на  $z$  посредством (6), получаем  $\Psi(z)$ , функции  $\varphi(z)$ ,  $\psi(z)$  восстанавливаем с помощью (5). Таким образом поставленная задача полностью решена.

Приведем пример решения задачи о НДС массива пород с цилиндрической выработкой эллиптического сечения с заданными на ее контуре, свободном от напряжений, перемещениями. Пусть в этой задаче считаются заданными радиальные перемещения и тангенциальные смещения  $u_r$ ,  $u_\theta$  ( $r$ ,  $\theta$  — полярная система координат). Для простоты определим их выражениями

$$u_r = R(A + B \cos 2\theta), \quad u_\theta = RC \sin 2\theta. \quad (16)$$

где  $A, B, C, R$  — эмпирические константы.

Параметр  $R$  свяжем с отображением эллиптического отверстия на внешность единичной окружности. Последнее зададим в виде

$$z = R \left( \xi + \frac{m}{\xi} \right), \quad (17)$$

где параметр  $m$  ( $0 \leq m < 1$ ) отвечает за отношение полуосей эллипса:

$$\frac{x^2}{R^2(1+m)^2} + \frac{y^2}{R^2(1-m)^2} = 1.$$

Составим выражение  $u_r + iu_\theta$ . С учетом (16) получаем

$$\frac{u_r + iu_\theta}{R} = A + B \cos 2\theta + iC \sin 2\theta. \quad (18)$$

Так как  $e^{2i\theta} = z / \bar{z}$ , то, подставляя сюда (17) при  $\xi = \sigma$ , находим

$$e^{2i\theta} = \frac{\sigma^2 + m}{1 + m\sigma^2}.$$

Из этого выражения определяем

$$\cos 2\theta = \frac{e^{2i\theta} + e^{-2i\theta}}{2} = \frac{1}{2} \left[ \frac{\sigma^2 + m}{1 + m\sigma^2} + \frac{1 + m\sigma^2}{\sigma^2 + m} \right], \quad \sin 2\theta = \frac{e^{2i\theta} - e^{-2i\theta}}{2i} = \frac{1}{2i} \left[ \frac{\sigma^2 + m}{1 + m\sigma^2} - \frac{1 + m\sigma^2}{\sigma^2 + m} \right].$$

Тогда

$$\frac{u_r + iu_\theta}{R} = A + \frac{B+C}{2} \frac{\sigma^2 + m}{1 + m\sigma^2} + \frac{B-C}{2} \frac{1 + m\sigma^2}{\sigma^2 + m}.$$

Для определения зависимости  $u_x, u_y$  от  $\theta$  воспользуемся формулой

$$u_x + iu_y = (u_r + iu_\theta)e^{i\theta},$$

где  $e^{i\theta} = \sqrt{\frac{\sigma^2 + m}{1 + m\sigma^2}}$ .

Отсюда находим

$$\frac{u_x + iu_y}{R} = A \sqrt{\frac{\sigma^2 + m}{1 + m\sigma^2}} + \frac{B+C}{2} \frac{\sigma^2 + m}{1 + m\sigma^2} \sqrt{\frac{\sigma^2 + m}{1 + m\sigma^2}} + \frac{B-C}{2} \frac{1 + m\sigma^2}{\sigma^2 + m} \sqrt{\frac{\sigma^2 + m}{1 + m\sigma^2}}.$$

Далее вычисляем производную от этой функции по  $\sigma$ :

$$\frac{(u_x + iu_y)'_\sigma}{R} = \frac{\sigma(1-m^2)}{\sqrt{(\sigma^2 + m)(1 + m\sigma^2)}} \left[ \frac{A}{1 + m\sigma^2} + \frac{3(B+C)(\sigma^2 + m)}{2(1 + m\sigma^2)^2} - \frac{B-C}{2(\sigma^2 + m)} \right].$$

Теперь вычисляем  $\Phi(\sigma)$ , применяя (14):

$$\begin{aligned} \Phi(\sigma) &= \frac{1}{1 + \aleph} \left[ \sigma_\rho + i\tau_{\rho\vartheta} + \frac{2\mu}{w'(\sigma)} (u_x + iu_y)'_\sigma \right] = \\ &= \frac{2\mu(1-m^2)\sigma^3}{(1 + \aleph)(\sigma^2 + m)\sqrt{(\sigma^2 + m)(1 + m\sigma^2)}} \left[ \frac{A}{1 + m\sigma^2} + \frac{3(B+C)(\sigma^2 + m)}{2(1 + m\sigma^2)^2} - \frac{B-C}{2(\sigma^2 + m)} \right]. \end{aligned} \quad (19)$$

Здесь учтено, что  $\sigma_\rho = \tau_{\rho\vartheta} = \sigma_n = \sigma_{nt} = 0$ .

Если  $m = 0$ , то

$$\Phi(\sigma) = \frac{2\mu}{1+\aleph} \left[ A + \frac{3(B+C)}{2} \sigma^2 - \frac{B-C}{2\sigma^2} \right].$$

Таким образом, получаем

$$\Phi(\xi) = \frac{2\mu(1-m^2)\xi^3}{(1+\aleph)(\xi^2-m)\sqrt{(\xi^2+m)(1+m\xi^2)}} \left[ \frac{A}{1+m\xi^2} + \frac{3(B+C)(\xi^2+m)}{2(1+m\xi^2)^2} - \frac{B-C}{2(\xi^2+m)} \right].$$

Для определения  $\Psi(\xi)$  имеем выражение, следующее из (15):

$$\Psi(\xi) = \left[ \Phi(\xi) + \bar{\Phi}\left(\frac{1}{\xi}\right) \right] \frac{1-m\xi^2}{\xi^2-m} - \frac{\xi(1+m\xi^2)}{\xi^2-m} \Phi'(\xi).$$

Поскольку на контуре выработки

$$\sigma_\rho + \sigma_\vartheta \Big|_{|\sigma|=1} = \sigma_\vartheta = 2 \left[ \Phi(\sigma) + \bar{\Phi}\left(\frac{1}{\sigma}\right) \right],$$

то с учетом (19) находим

$$\begin{aligned} \sigma_\vartheta = & \frac{4\mu(1-m^2)}{1+\aleph} \frac{1}{\sqrt{1+m^2+2m\cos\vartheta}} \left[ \frac{2A(1-m^2)}{(1-m^2)^2+4m^2\sin^2 2\vartheta} + 3(B+C) \times \right. \\ & \times \frac{(m+\cos 2\vartheta)(1-2m^2+m(1-m^2)\cos 2\vartheta+m^2\cos 4\vartheta)+m((3-m)\sin 2\vartheta+m\sin 4\vartheta)\sin 2\vartheta}{(1-2m^2+m(1-m^2)\cos 2\vartheta+m^2\cos 4\vartheta)^2+m^2((3-m)\sin 2\vartheta+m\sin 4\vartheta)^2} - \\ & \left. - (B-C) \frac{(1-m^2)\cos 2\vartheta}{(1-m^2)^2\cos^2 2\vartheta+(1+m^2)^2\sin^2 2\vartheta} \right]. \end{aligned}$$

На рис. 3 приведены расчетные кривые  $\sigma_\vartheta = \sigma_t$  (тангенциального напряжения  $\sigma_t$ ) на контуре выработки при значениях параметров  $R = 1$ ,  $A = 1$ ,  $B = 1$ ,  $C = -1$  и разных значениях  $m$  и  $\aleph$ .

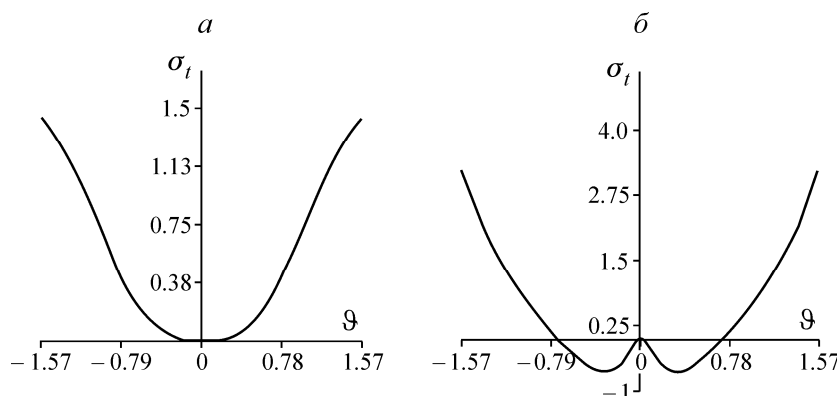


Рис. 3. Зависимость тангенциального напряжения  $\sigma_t$  от угла  $\vartheta$  для случаев:  $a$  —  $m = 0.3$ ,  $\aleph = 2.2$ ;  $b$  —  $m = 0.7$ ,  $\aleph = 1.8$

Для  $m=0$  зависимости напряжений  $\sigma_\rho$ ,  $\tau_{\rho\vartheta}$ ,  $\sigma_\vartheta$  от полярных координат  $\rho$ ,  $\vartheta$  имеют вид, совпадающий с [7, 9]:

$$\begin{aligned}\sigma_\rho &= \frac{2\mu}{1+\kappa} \left[ 2A \left( 1 - \frac{1}{\rho^2} \right) + \left( 2B + C - \frac{2(B-C)}{\rho^2} - \frac{3C}{\rho^4} \right) \cos 2\vartheta \right], \\ \tau_{\rho\vartheta} &= \frac{2\mu}{1+\kappa} \left[ 3(B+C)\rho^2 - 2B - C - \frac{1}{\rho^2} \left( B - C + \frac{3C}{\rho^2} \right) \right] \sin 2\vartheta, \\ \sigma_\vartheta &= \frac{2\mu}{1+\kappa} \left[ 2A \left( 1 + \frac{1}{\rho^2} \right) + \left( 6(B+C)\rho^2 - 2B - C + \frac{3C}{\rho^4} \right) \cos 2\vartheta \right].\end{aligned}$$

Отсюда для  $\rho=1$  получаем

$$\sigma_\rho = 0, \quad \tau_{\rho\vartheta} = 0, \quad \sigma_\vartheta = \frac{8\mu}{1+\kappa} (A + (B + 2C) \cos 2\vartheta).$$

Следует отметить, что значения напряжений  $\tau_{\rho\vartheta}$ ,  $\sigma_\vartheta$  при  $\rho \rightarrow \infty$  стремятся к бесконечности. Чтобы эти решения были ограниченными на бесконечности, требуется положить  $B + C = 0$ .

#### ВЫВОДЫ

Построено решение плоской задачи о выработке произвольного сечения с известными значениями перемещений на ее контуре. Показано, что решение такой задачи существует, единственно и непрерывно зависит от входных параметров.

Как пример исследован случай выработки с эллиптическим сечением.

#### СПИСОК ЛИТЕРАТУРЫ

1. Шваб А. А. Неклассическая упругопластическая задача // Изв. АН СССР. МТТ. — 1988. — № 1.
2. Чанышев А. И. К проблеме разрушения деформируемых сред. Ч. I: Основные уравнения // ФТПРПИ. — 2001. — № 3.
3. Чанышев А. И., Абдулин И. М. Характеристики и соотношения на характеристиках на предельной стадии деформирования горных пород // ФТПРПИ. — 2008. — № 5.
4. Чанышев А. И. Об одном методе определения теплового состояния среды // ФТПРПИ. — 2012. — № 4.
5. Миренков В. Е. Связь напряжений и смещений на контуре выработки // ФТПРПИ. — 1978. — № 3.
6. Миренков В. Е. К вопросу решения упругопластических задач // ФТПРПИ. — 1979. — № 3.
7. Мухелишвили Н. Н. Некоторые основные задачи математической теории упругости — М.: Наука, 1966.
8. Работнов Ю. Н. Механика деформируемого твердого тела: учеб. пособие для мехмат. и физ. спец. университетов. — М.: Наука, 1988.
9. Савин Г. Н. Распределение напряжений около отверстий. — Киев: Наук. думка, 1968.

Поступила в редакцию 2/XII 2013